

細骨材をフライアッシュに全量置換した RCC の版厚設計

山口大学大学院 学生会員 ○杉原大祐
 山口大学大学院 正会員 松尾栄治
 山口大学大学院 正会員 浜田純夫

1. はじめに

現在、石炭灰の有効利用に関する研究が全国的に盛んに実施されている。本学では細骨材をフライアッシュに全量置換した転圧コンクリート(=NS-FA-RCC)の開発を行っており、配合設計方法の確立、疲労強度の確認、実施工試験、耐久性照査などを実施している。本研究では、NS-FA-RCC の適用箇所を明らかにすることを目的とし、疲労試験の結果に基づいて版厚設計を行った。

2. NS-FA-RCC の疲労試験

2.1 使用材料および配合

セメント種類は早強ポルトランドセメント、粗骨材は山口県宮野産安山岩碎石である。フライアッシュは中国電力(株)新小野田発電所産の石炭灰原粉(強熱減量、28日活性度指数以外は JIS II 種に相当)を使用した。配合は既往の研究における基本配合とした。その配合を表-1 に示す。

2.2 疲労試験結果

得られた S-N 曲線および、他研究者の S-N 曲線を図-1 に示す。NS-FA-RCC の S-N 曲線は、一般的な転圧コンクリート(=RCC)および再生骨材を使用した転圧コンクリート(=RRCC)の S-N 曲線と比較すると傾きが大きい傾向にある。各コンクリートの疲労特性を表-3 に示す。

3. 転圧コンクリート舗装版の設計

3.1 設計方法

対象は NS-FA-RCC、RCC、RRCC および普通コンクリート舗装版(=普通舗装版)とした。設計期間は 20~100 年とし、計算では前述の松尾らの S-N 曲線および既往の研究における S-N 曲線を用いた。いずれの S-N 曲線についても破壊確率 $P(N)=50\%$ の曲線を用い、交通条件は表-4 に示すものを用いた。その他の条件については、舗装設計施工指針の設計例に準拠した。

表-1 NS-FA-RCC の配合

| W/P (%) | W/C (%) | 単位量(kg/m ³) | | | |
|------------|------------|-------------------------|-----|-----|------|
| | | C | W | FA | G |
| 23 | 50 | 300 | 149 | 350 | 1599 |

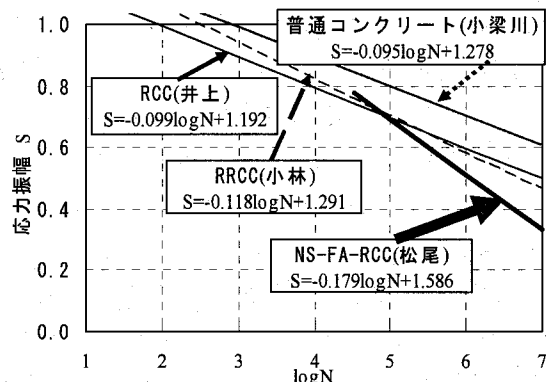


図-1 S-N 曲線

表-3 各コンクリートの疲労特性

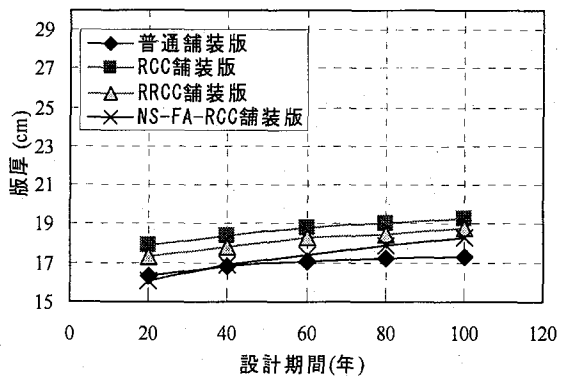
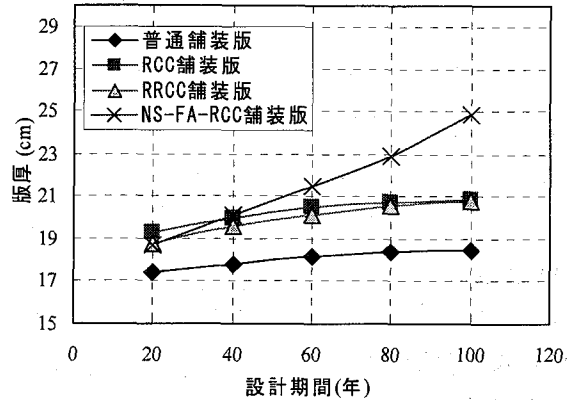
| コンクリート種類 | 使用骨材 | 実験者 | 下限応力 | S-N曲線式 | 200万回疲労強度 | $\sigma(\log N)$ | $\sigma(S-N)$ | |
|----------|------|-------|----------------------------------|----------------------------------|-----------|------------------|---------------|--|
| 普通コンクリート | 一般骨材 | 小梁川 | 0% | $S = -0.095 \log N + 1.278$ | 0.679 | 0.83~1.50 | 0.865 | |
| | | | ※(10%) | ※($S = -0.086 \log N + 1.150$) | (0.608) | | 0.925 | |
| 転圧コンクリート | | 井上 | 0% | $S = -0.099 \log N + 1.192$ | 0.570 | 0.64~1.15 | 0.622 | |
| | | | ※(10%) | ※($S = -0.092 \log N + 1.083$) | (0.503) | | 0.616 | |
| 一種再生粗骨材 | 小林 | ※(0%) | ※($S = -0.118 \log N + 1.291$) | (0.547) | 0.66~1.49 | 0.741 | | |
| | | 10% | $S = -0.095 \log N + 1.105$ | 0.506 | | 0.786 | | |
| フライアッシュ | 松尾 | ※(0%) | ※($S = -0.179 \log N + 1.586$) | (0.460) | 0.34~1.59 | 0.851 | | |
| | | 10% | $S = -0.165 \log N + 1.448$ | 0.408 | | 0.851 | | |

※()は疲労試験時の下限応力を修正Goodman図により修正したもの。

無印はオリジナルの実験値データによるもの。

表-4 各交通条件

| 輪荷重 (kN) | 頻度(台/日) | |
|-------------|---------|-------|
| | A交通 | B交通 |
| 9.8 | 531 | 2,672 |
| 19.6 | 38 | 278 |
| 29.4 | 20 | 153 |
| 39.2 | 10 | 78 |
| 49.0 | 5 | 42 |
| 58.8 | 3 | 26 |
| 68.6 | 3 | 14 |
| 78.4 | 0 | 0 |
| 88.2 | 0 | 0 |
| 98.0 | 0 | 0 |



3.2 設計結果

従来の交通量区分に基づいた設計結果を図-2~3に示す。都市部と郊外部では類似の結果であったため、ここでは郊外部のみを示す。A交通でNS-FA-RCCと普通舗装版を比較すると、版厚は僅かにNS-FA-RCCの方が厚い。これは、NS-FA-RCCのS-N曲線が普通舗装版よりも小さいためである。これより、NS-FA-RCCはA交通であれば十分適用可能であると考えられる。

郊外部および都市部での設計期間と「版厚×社会還元材料費指數」の関係を図-4~5に示す。社会還元材料費指數とは、NS-FA-RCCを基準とした材料単価の割合である。その際に処分費なども考慮した材料単価を用いていることから、社会還元材料費と称している。郊外部ではどの条件においても普通舗装版よりNS-FA-RCCの方が有利となった。A交通の場合、設計期間を長くしても版厚の変化は小さい結果となった。また、NS-FA-RCCは細骨材を使用しないため環境負荷が小さく、少ない交通量であれば適用が期待できる。

4. 結論

設計条件である郊外部、都市部といった条件は版厚にはさほど影響しない。また、NS-FA-RCCは環境への配慮もされており、交通量が少ない場所であれば適用が期待できる。

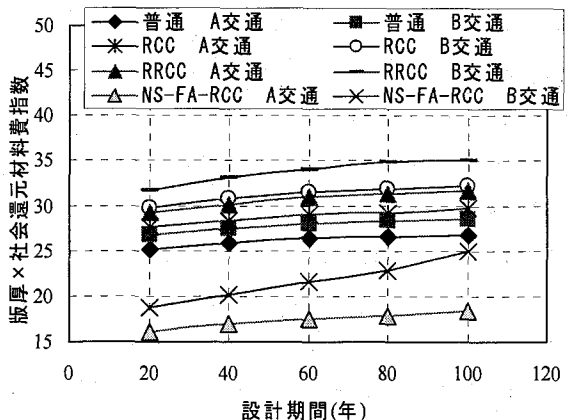


図-4 設計年数と版厚×社会還元材料費指數の関係(郊外部)

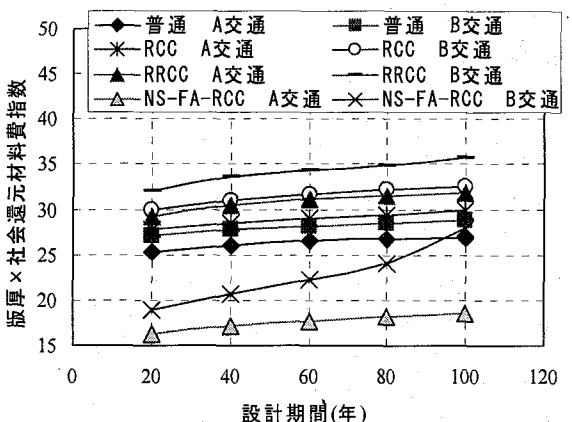


図-5 設計年数と版厚×社会還元材料費指數の関係(都市部)